



Payame Noor University
Sari

Department Chemistry

Title:
Calculation of Internal Pressure of Dense Fluids
Using the Linear Isotherm Regularity

Submitted in Partial Fulfillment
of the Requirements for the Degree of
M.S(M.A.)in **Physical Chemistry**

by :
Zahra Miri

Supervisors :
Dr. V. Moeini

Advisor :
Dr. F. Ashrafi

Month.Year :
September 2008

Payame Noor University
Sari

Department Chemistry

Title:
Calculation of Internal Pressure of Dense Fluids
Using the Linear Isotherm Regularity



Submitted in Partial Fulfillment
of the Requirements for the Degree of
M.S(M.A.)in **Physical Chemistry**

by :
Zahra Miri

Supervisors :
Dr. V. Moeini

Advisor :
Dr. F. Ashrafi

Month.Year :
September 2008



حمد و سپاس خدای متعال را که قدرت اندیشیدن به ما عطا فرمود و اینچنین ما را اشرف مخلوقات قرار داد.


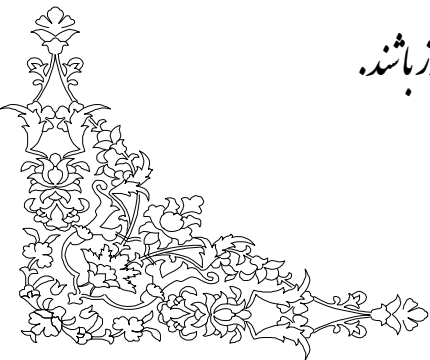
باتقدیر و شکر از راهنمایی های مفید و موثر استاد راهنا محترم و دانشمندم جناب آقای دکتر وحید معینی، استاد مشاور فرزانه ام جناب

آقای دکتر فریدون اشرفی، استاد داور ارجمند جناب آقای دکتر محسن افقاده و هم چنین نماینده محترم دانشکده شیمی جناب آقای

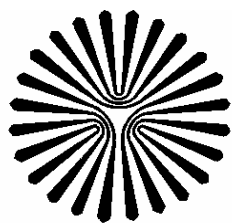
دکتر نادر بهرامی فر که اینجانب را در تالیف این مکتوب یاری نموده و همواره در راستای اعتلای فرهنگ و دانش این مرز و بوم

گام برمی دارند، بی شک جامعه علمی و فرهنگی مرهون تلاش های بی شائبه این بزرگواران می باشد.

در پایان نیز از زحمات اساتید که انقدر و پر سنل ساعی دانشکده شیمی و تمام دوستان در تحصیلات تکمیلی شکر می نمایم.



امیدوارم در سایه الطاف خداوند سبحان، همواره موفق و پیروز باشم.



دانشگاه پیام نور

دانشکده : علوم پایه

گروه : شیمی

عنوان پایان نامه

محاسبه فشار درونی سیالات چگال با به کارگیری
قانون همدمای خطی

پایان نامه:

برای دریافت درجه کارشناسی ارشد

در رشته شیمی فیزیک

استاد راهنما

دکتر وحید معینی

استاد مشاور

دکتر فریدون اشرفی

نگارنده

زهرا میری

شهریور ۱۳۸۷

دانشگاه پیام نور

دانشکده : علوم پایه

گروه : شیمی

عنوان پایان نامه

محاسبه فشار درونی سیالات چگال با به کارگیری

قانون همدمای خطی

پایان نامه:

برای دریافت درجه کارشناسی ارشد

در رشته شیمی فیزیک

استاد راهنما

دکتر وحید معینی

استاد مشاور

دکتر فریدون اشرفی

نگارنده

زهرا میری

شهریور ۱۳۸۷



تقدیم بہ

خانوادہ مہربانم

کہ، ہموارہ چراغِ راہ من بودہ اندہ.

باسپاس

بِسْمِ اللَّهِ الرَّحْمَنِ الرَّحِيمِ

چکیده

نیروهای چسبندگی، که نتیجه‌ای از نیروهای جاذبه و دافعه بین مولکول‌های سیال می‌باشند، با نگره‌داشتن مولکول‌ها در کنار یکدیگر فشاری در سیال ایجاد می‌کنند که فشار درونی نامیده می‌شود. هدف اصلی تحقیق حاضر محاسبه فشار درونی سیالات چگال با استفاده از قانون هم‌دمای خطی، معروف به معادله حالت LIR است. سیالات به‌کار رفته در این تحقیق (Ar, N₂, CO, CH₄, C₂H₆, C₃H₈, n-C₄H₁₀, iso-C₄H₁₀, C₅H₁₂, C₆H₁₄) می‌باشند. میزان انحراف بین فشار درونی تجربی و فشار درونی محاسبه شده به‌وسیله LIR به بهترین نحو از طریق کاربرد پارامترهای جدید در LIR بیان شده‌اند. در این تحقیق، وابستگی دمایی پارامترهای LIR از درجه اول به درجه دوم و درجه سوم توسعه داده شده است، و مشتقات دمایی جدید برای محاسبه فشار درونی به‌کار رفته است. مدل به‌دست آمده به درستی فشار درونی را از حد پایین دانسیته، در دانسیته بویل، و از دمای سه‌گانه تا دوبرابر دمای بویل نشان می‌دهد. حد بالاتر دانسیته در ۱/۴ برابر دانسیته بویل ظاهر می‌شود. این مسائل منجر به تلاش ما برای ایجاد تابعی برای محاسبه دقیق فشار درونی، بر اساس تئوری LIR برای سیالات متفاوت شده است.

کلید واژگان : قانون هم‌دمای خطی (LIR)، فشار درونی، سیال چگال، دانسیته بویل

نام خانوادگی دانشجو : میری رامشه

نام : زهرا

عنوان پایان نامه : محاسبه فشار درونی سیالات چگال با استفاده از قانون همدمای خطی

استاد راهنما : دکتر وحید معینی

استاد مشاور : دکتر فریدون اشرفی

مقطع تحصیلی : کارشناسی ارشد رشته : شیمی گرایش : شیمی فیزیک دانشگاه : پیام نور ساری

دانشکده : علوم پایه تاریخ فارغ التحصیلی : ۸۷/۶/۲۱ تعداد صفحه : ۱۵۴

کلید واژگان : قانون همدمای خطی (LIR)، فشار درونی، سیال چگال، دانسیته بویل

چکیده :

نیروهای چسبندگی، که نتیجه‌ای از نیروهای جاذبه و دافعه بین مولکول‌های سیال می‌باشند، با نگرداشتن مولکول‌ها در کنار یکدیگر فشاری در سیال ایجاد می‌کنند که فشار درونی نامیده می‌شود. هدف اصلی تحقیق حاضر محاسبه فشار درونی سیالات چگال با استفاده از قانون همدمای خطی، معروف به معادله حالت LIR است. سیالات به‌کار رفته در این تحقیق (Ar , N_2 , CO , CH_4 , C_2H_6 , C_3H_8 , $n-C_4H_{10}$, $iso-C_4H_{10}$, C_6H_6 , C_7H_8) می‌باشند. میزان انحراف بین فشار درونی تجربی و فشار درونی محاسبه شده به‌وسیله LIR به بهترین نحو از طریق کاربرد پارامترهای جدید در LIR بیان شده‌اند. در این تحقیق، وابستگی دمایی پارامترهای LIR از درجه اول به درجه دوم و درجه سوم توسعه داده شده است، و مشتقات دمایی جدید برای محاسبه فشار درونی به‌کار رفته است. مدل به‌دست آمده به درستی فشار درونی را از حد پایین دانسیته، در دانسیته بویل، و از دمای سه‌گانه تا دوبرابر دمای بویل نشان می‌دهد. حد بالاتر دانسیته در $1/4$ برابر دانسیته بویل ظاهر می‌شود. این مسائل منجر به تلاش ما برای ایجاد تابعی برای محاسبه دقیق فشار درونی، بر اساس تئوری LIR برای سیالات متفاوت شده است.

فهرست مطالب

عنوان

صفحه

مقدمه..... ۱

◀ فصل اول : فشار درونی در سیالات چگال

۱-۱ فشار درونی..... ۴

۲-۱ اهمیت فشار درونی..... ۴

۳-۱ روش‌های محاسبه فشار درونی..... ۵

۱-۳-۱ ضریب فشار حرارتی..... ۶

۲-۳-۱ تراکم پذیری هم دما و انبساط پذیری هم فشار..... ۷

۳-۳-۱ کشش سطحی..... ۸

۴-۳-۱ آنتالپی تبخیر..... ۸

۵-۳-۱ سرعت صوت..... ۹

۶-۳-۱ معادله حالت..... ۹

- ۱-۴ سیال چگال ۱۰
- ۱-۴-۱ معادله تیت ۱۱
- ۱-۴-۲ معادله مارناگان ۱۲
- ۱-۴-۳ قاعده خط زینو ۱۳
- ۱-۴-۴ قاعده هوانگ و اکانل ۱۳
- ۱-۵ یک معادله حالت ساده برای سیال چگال ۱۴
- ۱-۶ معادله حالت LIR ۱۶
- ۱-۷ تعمیم قانون همدمای خطی برای الکل‌های زنجیره‌ای نوع اول، دوم و سوم، کتون‌ها و ۱- کربوکسیلیک اسیدها بوسیله روش شرکت گروه ۱۷
- ۱-۷-۱ معادله LIR تغییر یافته برای آلکان‌هایی با زنجیره بلند ۱۸
- ۱-۷-۲ تعمیم LIR به الکل‌های زنجیری نوع اول، دوم و سوم ۱۹
- ۱-۷-۳ تعمیم LIR به کتون‌های زنجیری طویل ۲۰
- ۱-۷-۴ تعمیم LIR به ۱- کربوکسیلیک اسیدهای راست زنجیر ۲۱
- ۱-۷-۵ تعمیم به مخلوط‌ها ۲۱

- ۸-۱ توانایی معادله حالت LIR در پیش بینی نقطه همرسی ضریب انبساط پذیری هم فشار..... ۲۲
- ۹-۱ تعیین وابستگی دما و دانسیته پارامترهای پتانسیل جفت موثر میانگین با استفاده از معادله حالت LIR..... ۲۳
- ۱۰-۱ محاسبه خواص انتقالی سیالات چگال با استفاده از تئوری انسکوگ و یک معادله حالت مناسب..... ۲۷
- ۱-۱۰-۱ تئوری انسکوگ تغییر یافته..... ۲۷
- ۲-۱۰-۱ محاسبه هدایت گرمایی..... ۲۹
- ۳-۱۰-۱ محاسبه خود-پخشی..... ۳۱
- ۱۱-۱ یک معادله حالت جدید به دست آمده از تئوری اختلال مکانیکی..... ۳۲
- ۱۲-۱ یک قانون جدید برای فشار درونی سیالات چگال..... ۳۸
- ۱۳-۱ فشار درونی به عنوان تابعی از فشار..... ۴۴
- ۱۴-۱ مطالعه دینامیک مولکولی روی نقش نیروهای جاذبه و دافعه در فشار درونی و ساختار سیالات چگال..... ۴۸
- ۱-۱۴-۱ رفتار همدماهای فشار درونی و انرژی درونی در برابر حجم..... ۴۹
- ۲-۱۴-۱ رابطه بین انرژی پتانسیل بین مولکولی و فشار درونی..... ۵۰

◀ فصل دوم : محاسبه فشار درونی $(\partial E/\partial v)_T$ سیالات چگال

- ۱-۲ محاسبه فشار درونی $(\partial E/\partial v)_T$ سیالات چگال با استفاده از قانون همدمای خطی..... ۵۶
- ۱-۱-۲ تعیین فشار درونی سیال چگال کربن مونو اکسید CO ۵۸
- ۲-۱-۲ تعیین فشار درونی سیال چگال تولوئن C_6H_8 ۶۳
- ۳-۱-۲ تعیین فشار درونی سیال چگال بنزن C_6H_6 ۶۸
- ۴-۱-۲ تعیین فشار درونی سیال چگال آرگون Ar ۷۴
- ۵-۱-۲ تعیین فشار درونی سیال چگال نیتروژن N_2 ۷۷
- ۶-۱-۲ تعیین فشار درونی سیال چگال متان CH_4 ۸۱
- ۷-۱-۲ محاسبه فشار درونی سیال چگال اتان C_2H_6 ۸۳
- ۸-۱-۲ تعیین فشار درونی سیال چگال پروپان C_3H_8 ۸۴
- ۹-۱-۲ تعیین فشار درونی سیال چگال نرمال بوتان $n-C_4H_{10}$ ۸۶
- ۱۰-۱-۲ تعیین فشار درونی سیال چگال ایزو بوتان $iso-C_4H_{10}$ ۸۸

◀ فصل سوم : محاسبه فشار درونی سیالات چگال بر اساس A و B توسعه یافته

- ۱-۳ محاسبه فشار درونی $(\partial E/\partial v)_T$ سیالات چگال بر اساس A و B توسعه یافته..... ۹۱
- ۱-۳-۱ محاسبه فشار درونی $(\partial E/\partial v)_T$ سیال چگال کربن مونو اکسید بر اساس A و B توسعه یافته..... ۹۲
- ۱-۳-۲ محاسبه فشار درونی $(\partial E/\partial v)_T$ سیال چگال تولوئن بر اساس A و B توسعه یافته..... ۹۵
- ۱-۳-۳ محاسبه فشار درونی $(\partial E/\partial v)_T$ سیال چگال بنزن بر اساس A و B توسعه یافته..... ۹۹
- ۱-۳-۴ محاسبه فشار درونی $(\partial E/\partial v)_T$ سیال چگال آرگون بر اساس A و B توسعه یافته..... ۱۰۳
- ۱-۳-۵ محاسبه فشار درونی $(\partial E/\partial v)_T$ سیال چگال نیتروژن بر اساس A و B توسعه یافته..... ۱۰۷
- ۱-۳-۶ تعیین فشار درونی $(\partial E/\partial v)_T$ سیال چگال متان بر اساس A و B توسعه یافته..... ۱۱۱
- ۱-۳-۷ تعیین فشار درونی $(\partial E/\partial v)_T$ سیال چگال اتان بر اساس A و B توسعه یافته..... ۱۱۴
- ۱-۳-۸ محاسبه فشار درونی $(\partial E/\partial v)_T$ سیال چگال پروپان بر اساس A و B توسعه یافته..... ۱۱۸
- ۱-۳-۹ تعیین فشار درونی $(\partial E/\partial v)_T$ سیال چگال نرمال بوتان بر اساس A و B توسعه یافته..... ۱۲۱
- ۱-۳-۱۰ تعیین فشار درونی $(\partial E/\partial v)_T$ سیال چگال ایزو بوتان بر اساس A و B توسعه یافته..... ۱۲۵

◀ فصل چهارم : تصحیح دوم فشار درونی سیالات چگال بر اساس A و B توسعه یافته

- ۱-۴ تصحیح دوم فشار درونی $(\partial E/\partial v)_T$ سیالات چگال بر اساس A و B توسعه یافته..... ۱۳۰

۱-۱-۴ تصحیح دوم فشار درونی $(\partial E/\partial v)_T$ سیال چگال کربن مونوکسید بر اساس A و B توسعه یافته.....

۱۳۱.....

۲-۱-۴ تصحیح دوم فشار درونی $(\partial E/\partial v)_T$ سیال چگال تولوئن بر اساس A و B توسعه یافته.....

۳-۱-۴ تصحیح دوم فشار درونی $(\partial E/\partial v)_T$ سیال چگال بنزن بر اساس A و B توسعه یافته.....

◀ فصل پنجم : بحث و نتیجه گیری

۱-۵ نتیجه گیری.....

۲-۵ ارائه پیشنهاد.....

مراجع.....

چکیده انگلیسی

فهرست جداول

عنوان

صفحه

<p>جدول ۱-۲ : برخی خواص فیزیکی و ترمودینامیکی سیالات چگال-n ($N_2, CO, CH_4, C_2H_6, C_3H_8, Ar$)</p> <p>.....($C_2H_2, iso-C_2H_6, C_2H_4, C_2H_6$) ۵۸</p> <p>جدول ۲-۲ : عرض از مبدا A و شیب B معادله $(v/v_c)^Z = A + B(\rho/\rho_c)^Z$ همراه با ضریب همبستگی R^2، محدوده فشار Δp، محاسبه شده از معادله LIR برای کربن مونوکسید در دماهای مختلف..... ۵۹</p> <p>جدول ۳-۲ : عرض از مبدا A و شیب B معادله $(v/v_c)^Z = A + B(\rho/\rho_c)^Z$ همراه با ضریب همبستگی R^2، محدوده فشار Δp، محاسبه شده از معادله LIR برای تولوئن در دماهای مختلف..... ۶۳</p> <p>جدول ۴-۲ : عرض از مبدا A و شیب B معادله $(v/v_c)^Z = A + B(\rho/\rho_c)^Z$ همراه با ضریب همبستگی R^2، محدوده فشار Δp، محاسبه شده از معادله LIR برای بنزن در دماهای مختلف..... ۶۸</p> <p>جدول ۵-۲ : عرض از مبدا A و شیب B معادله $(v/v_c)^Z = A + B(\rho/\rho_c)^Z$ همراه با ضریب همبستگی R^2، محدوده فشار Δp، محاسبه شده از معادله LIR برای آرگون در دماهای مختلف..... ۷۴</p> <p>جدول ۶-۲ : عرض از مبدا A و شیب B معادله $(v/v_c)^Z = A + B(\rho/\rho_c)^Z$ همراه با ضریب همبستگی R^2، محدوده فشار Δp، محاسبه شده از معادله LIR برای نیتروژن در دماهای مختلف..... ۷۷</p> <p>جدول ۷-۲ : عرض از مبدا A و شیب B معادله $(v/v_c)^Z = A + B(\rho/\rho_c)^Z$ همراه با ضریب همبستگی R^2، محدوده فشار Δp، محاسبه شده از معادله LIR برای متان در دماهای مختلف..... ۸۱</p>	
---	--

جدول ۲-۸: عرض از مبدا A و شیب B معادله $(v/v_c)^Z = A + B(\rho/\rho_c)^Z$ همراه با ضریب همبستگی

R^2 , محدوده فشار Δp , محاسبه شده از معادله LIR برای اتان در دماهای مختلف..... ۸۳

جدول ۲-۹: عرض از مبدا A و شیب B معادله $(v/v_c)^Z = A + B(\rho/\rho_c)^Z$ همراه با ضریب همبستگی

R^2 , محدوده فشار Δp , محاسبه شده از معادله LIR برای پروپان در دماهای مختلف..... ۸۴

جدول ۲-۱۰: عرض از مبدا A و شیب B معادله $(v/v_c)^Z = A + B(\rho/\rho_c)^Z$ همراه با ضریب همبستگی

R^2 , محدوده فشار Δp , محاسبه شده از معادله LIR برای نرمال بوتان در دماهای مختلف..... ۸۶

جدول ۲-۱۱: عرض از مبدا A و شیب B معادله $(v/v_c)^Z = A + B(\rho/\rho_c)^Z$ همراه با ضریب همبستگی

R^2 , محدوده فشار Δp , محاسبه شده از معادله LIR برای ایزو بوتان در دماهای مختلف..... ۸۸

جدول ۳-۱: ضریب فشار حرارتی و فشار درونی محاسبه شده (بر اساس A و B توسعه یافته) و مقایسه آن با مقادیر

محاسبه شده (با استفاده از معادله LIR) و مقادیر تجربی برای کربن مونوکسید در دمای K ۱۸۰..... ۹۳

جدول ۳-۲: ضریب فشار حرارتی و فشار درونی محاسبه شده (بر اساس A و B توسعه یافته) و مقایسه آن با مقادیر

محاسبه شده (با استفاده از معادله LIR) و مقادیر تجربی برای کربن مونوکسید در دمای K ۲۱۰..... ۹۴

جدول ۳-۳: ضریب فشار حرارتی و فشار درونی محاسبه شده (بر اساس A و B توسعه یافته) و مقایسه آن با مقادیر

محاسبه شده (با استفاده از معادله LIR) و مقادیر تجربی برای تولوئن در دمای K ۳۰۰..... ۹۶

جدول ۳-۴: ضریب فشار حرارتی و فشار درونی محاسبه شده (بر اساس A و B توسعه یافته) و مقایسه آن با مقادیر

محاسبه شده (با استفاده از معادله LIR) و مقادیر تجربی برای تولوئن در دمای K ۶۲۰..... ۹۸

جدول ۳-۵: ضریب فشار حرارتی و فشار درونی محاسبه شده (بر اساس A و B توسعه یافته) و مقایسه آن با مقادیر

محاسبه شده (با استفاده از معادله LIR) و مقادیر تجربی برای بنزن در دمای 280 K۱۰۰

جدول ۳-۶: ضریب فشار حرارتی و فشار درونی محاسبه شده (بر اساس A و B توسعه یافته) و مقایسه آن با مقادیر

محاسبه شده (با استفاده از معادله LIR) و مقادیر تجربی برای بنزن در دمای 550 K۱۰۱

جدول ۳-۷: ضریب فشار حرارتی و فشار درونی محاسبه شده (بر اساس A و B توسعه یافته) و مقایسه آن با مقادیر

محاسبه شده (با استفاده از معادله LIR) و مقادیر تجربی برای بنزن در دمای 590 K۱۰۲

جدول ۳-۸: ضریب فشار حرارتی و فشار درونی محاسبه شده (بر اساس A و B توسعه یافته) و مقایسه آن با مقادیر

محاسبه شده (با استفاده از معادله LIR) برای آرگون در دمای 86 K۱۰۴

جدول ۳-۹: ضریب فشار حرارتی و فشار درونی محاسبه شده (بر اساس A و B توسعه یافته) و مقایسه آن با مقادیر

محاسبه شده (با استفاده از معادله LIR) برای آرگون در دمای 100 K۱۰۵

جدول ۳-۱۰: ضریب فشار حرارتی و فشار درونی محاسبه شده (بر اساس A و B توسعه یافته) و مقایسه آن با

مقادیر محاسبه شده (با استفاده از معادله LIR) برای آرگون در دمای 120 K۱۰۶

جدول ۳-۱۱: ضریب فشار حرارتی و فشار درونی محاسبه شده (بر اساس A و B توسعه یافته) و مقایسه آن با

مقادیر محاسبه شده (با استفاده از معادله LIR) برای نیتروژن در دمای 70 K۱۰۸

جدول ۳-۱۲: ضریب فشار حرارتی و فشار درونی محاسبه شده (بر اساس A و B توسعه یافته) و مقایسه آن با

مقادیر محاسبه شده (با استفاده از معادله LIR) برای نیتروژن در دمای 90 K۱۰۹

جدول ۳-۱۳: ضریب فشار حرارتی و فشار درونی محاسبه شده (بر اساس A و B توسعه یافته) و مقایسه آن با

مقادیر محاسبه شده (با استفاده از معادله LIR) برای نیتروژن در دمای 100 K ۱۱۰

جدول ۳-۱۴: ضریب فشار حرارتی و فشار درونی محاسبه شده (بر اساس A و B توسعه یافته) و مقایسه آن با

مقادیر محاسبه شده (با استفاده از معادله LIR) برای متان در دمای 170 K ۱۱۲

جدول ۳-۱۵: ضریب فشار حرارتی و فشار درونی محاسبه شده (بر اساس A و B توسعه یافته) و مقایسه آن با

مقادیر محاسبه شده (با استفاده از معادله LIR) برای متان در دمای 200 K ۱۱۳

جدول ۳-۱۶: ضریب فشار حرارتی و فشار درونی محاسبه شده (بر اساس A و B توسعه یافته) و مقایسه آن با

مقادیر محاسبه شده (با استفاده از معادله LIR) برای متان در دمای 340 K ۱۱۳

جدول ۳-۱۷: ضریب فشار حرارتی و فشار درونی محاسبه شده (بر اساس A و B توسعه یافته) و مقایسه آن با

مقادیر محاسبه شده (با استفاده از معادله LIR) برای اتان در دمای 200 K ۱۱۵

جدول ۳-۱۸: ضریب فشار حرارتی و فشار درونی محاسبه شده (بر اساس A و B توسعه یافته) و مقایسه آن با

مقادیر محاسبه شده (با استفاده از معادله LIR) برای اتان در دمای 270 K ۱۱۶

جدول ۳-۱۹: ضریب فشار حرارتی و فشار درونی محاسبه شده (بر اساس A و B توسعه یافته) و مقایسه آن با

مقادیر محاسبه شده (با استفاده از معادله LIR) برای اتان در دمای 300 K ۱۱۷

جدول ۳-۲۰: ضریب فشار حرارتی و فشار درونی محاسبه شده (بر اساس A و B توسعه یافته) و مقایسه آن با

مقادیر محاسبه شده (با استفاده از معادله LIR) برای پروپان در دمای 260 K ۱۱۹

جدول ۳-۲۱: ضریب فشار حرارتی و فشار درونی محاسبه شده (بر اساس A و B توسعه یافته) و مقایسه آن با

مقادیر محاسبه شده (با استفاده از معادله LIR) برای پروپان در دمای $K 330$۱۲۰

جدول ۳-۲۲: ضریب فشار حرارتی و فشار درونی محاسبه شده (بر اساس A و B توسعه یافته) و مقایسه آن با

مقادیر محاسبه شده (با استفاده از معادله LIR) برای پروپان در دمای $K 400$۱۲۰

جدول ۳-۲۳: ضریب فشار حرارتی و فشار درونی محاسبه شده (بر اساس A و B توسعه یافته) و مقایسه آن با

مقادیر محاسبه شده (با استفاده از معادله LIR) برای نرمال بوتان در دمای $K 320$۱۲۲

جدول ۳-۲۴: ضریب فشار حرارتی و فشار درونی محاسبه شده (بر اساس A و B توسعه یافته) و مقایسه آن با

مقادیر محاسبه شده (با استفاده از معادله LIR) برای نرمال بوتان در دمای $K 400$۱۲۳

جدول ۳-۲۵: ضریب فشار حرارتی و فشار درونی محاسبه شده (بر اساس A و B توسعه یافته) و مقایسه آن با

مقادیر محاسبه شده (با استفاده از معادله LIR) برای نرمال بوتان در دمای $K 420$۱۲۴

جدول ۳-۲۶: ضریب فشار حرارتی و فشار درونی محاسبه شده (بر اساس A و B توسعه یافته) و مقایسه آن با

مقادیر محاسبه شده (با استفاده از معادله LIR) برای ایزو بوتان در دمای $K 250$۱۲۶

جدول ۳-۲۷: ضریب فشار حرارتی و فشار درونی محاسبه شده (بر اساس A و B توسعه یافته) و مقایسه آن با

مقادیر محاسبه شده (با استفاده از معادله LIR) برای ایزو بوتان در دمای $K 400$۱۲۷

جدول ۳-۲۸: ضریب فشار حرارتی و فشار درونی محاسبه شده (بر اساس A و B توسعه یافته) و مقایسه آن با

مقادیر محاسبه شده (با استفاده از معادله LIR) برای ایزو بوتان در دمای $K 420$۱۲۸